



طراحی و کالیبراسیون یک سامانه‌ی شمارنده‌ی کل بدن با هندسه‌ی صندلی

حسین پوربیگی^{*}، سعدی پورعلی^۱، مجتبی مستجاب‌الدعواتی^۲، سعید باقری^۲

۱. پژوهشکده‌ی کاربرد پرتوها، پژوهشگاه علوم و فنون هسته‌ای، سازمان انرژی اتمی ایران، صندوق پستی: ۱۱۳۶۵-۳۴۸۶، تهران - ایران

۲. گروه مهندسی هسته‌ای، دانشکده علوم و فن‌آوری‌های نوین، دانشگاه اصفهان، صندوق پستی: ۸۱۷۴۶-۷۳۴۴۱، اصفهان - ایران

چکیده: شمارنده‌های کل بدن برای اندازه‌گیری‌های مستقیم پرتوزایی بدن و ارزیابی پرتوگیری داخلی برای پرتوکاران و دیگر افراد جامعه استفاده می‌شوند. شمارنده‌ی با هندسه‌ی صندلی نسبت به دیگر هندسه‌ها برای پایش سریع در حادث پرتوی، مناسب‌تر است. در این پژوهش، سیستم پایش قابل حملی با هندسه‌ی صندلی، طراحی شد و ارزیابی بازده‌ی شمارش برای کالیبراسیون سیستم انجام گرفت. این سامانه از یک آشکارساز سوسوزن یدور سدیم (قطر ۵cm×۵cm) فرار گرفته داخل یک موازی‌ساز، و یک صندلی که بالایه‌های سربی به ضخامت ۲cm حفاظت شده‌اند، تشکیل شده است. برای محاسبه‌ی زاویه‌ی صندلی و زاویه‌ی موازی‌ساز، از مدل فاتوم بومب استفاده شده است. بازده شمارش‌ها از راه شبیه‌سازی مونته‌کارلو و آزمایش‌های کالیبراسیون معمول و با استفاده از یک فاتوم نیم‌تنهٔ حاوی چشممه‌ای نقطه‌ای به دست آمد. کمینه‌ی سطح پرتوزایی قابل اندازه‌گیری (MDA) برای چشممه‌ی ^{137}Cs در محدوده‌ی زمانی ۱۰ min، برابر با 448 ± 47 Bq بود. نتایج حاکی از آن است که کالیبراسیون شمارنده‌ی کل بدن با کد MCNPX می‌تواند جای گزین کالیبراسیون واقعی شود. هم‌چنین نشان داده شد که شبیه‌سازی مونته‌کارلو، یک روش ارزان‌قیمت برای به دست آوردن بازده‌ی شمارنده‌ی کل بدن از نوع صندلی برای مقاصد طراحی و کالیبراسیون است.

کلیدواژه‌ها: شمارنده‌ی کل بدن، کالیبراسیون، بازده، شبیه‌سازی مونته‌کارلو، فاتوم بومب و نیم‌تنه

Design and Calibration of a Chair-Type Whole Body Counter

H. Poorbaygi¹, S. Pourali², M. Mostajaboddavati², S. Bagheri²

1. Radiation Application Research School, Nuclear Science and Technology Research Institute, AEOI, P.O.Box: 11365-3486, Tehran-Iran
2. Department of Nuclear Engineering, Faculty of Advanced Sciences and Technologies, University of Isfahan, P.O.Box: 81746-73441, Isfahan – Iran

Abstract: A whole body counter is used for in vivo measurement of body radioactivity to access the internal exposure of radiation workers, as well as, the internal exposure of the public. The chair-type WBC is more suitable than the other geometry for rapid monitoring in radiation accidents. In this study, a transportable in vivo monitoring system with the chair-type geometry has been designed, and evaluation of the counting efficiency has been performed to calibrate the system effectively. The counter incorporates Nal (Tl) detectors (5cm dia.×5cm), housed in a collimator, and the chair is shielded using 2cm thick lead layers. For calculating the seat angle of the chair and collimator angle, a Bottle Mannkin Absorber (BOMAB) phantom model has been used. The counting efficiencies have been obtained by using Monte Carlo simulation and from the conventional calibration experiment. For the calibration experiment, a torso phantom containing a point source is used. The minimum detectable activity (MDA) for ^{137}Cs for 10min counting interval is 448 ± 47 Bq. The results indicate that the calibration of the whole body counter by the MCNPX code can be substituted for the actual calibration. It is shown that, the Monte Carlo simulation is an inexpensive alternative method to obtain the counting efficiency of the chair type WBC for design and accurate calibration purposes.

Keywords: Whole-Body Counter, Calibration, Efficiency, Monte Carlo Simulation, BOMAB and Torso Phantom

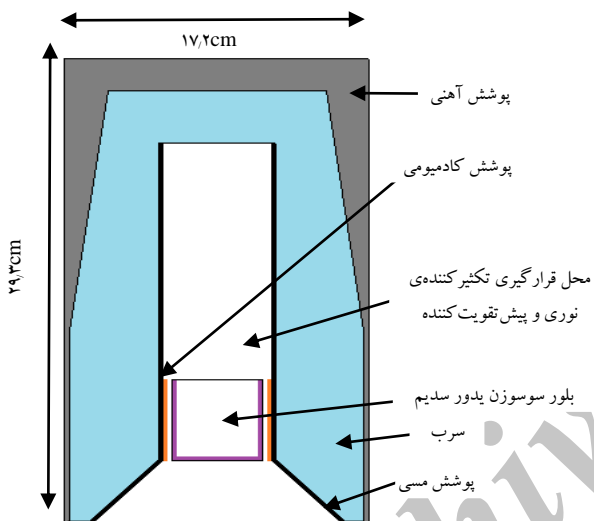
*email: hpourbeigi@aeoi.org.ir

تاریخ دریافت مقاله: ۹۴/۱۰/۱ تاریخ پذیرش مقاله: ۹۵/۶/۱۶

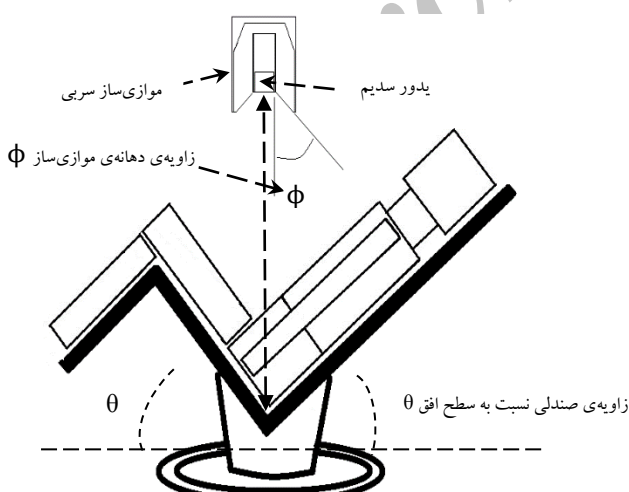


۱. مقدمه

در ابتدا برای مقاصد طراحی از فانتوم مرجع بومب در شبیه‌سازی استفاده شد که شامل ۱۰ محفظه از جنس پلی‌اتیلن یا پلکسی‌گلاس^(۴) است و غالباً حاوی توزیع یکنواختی از آب و هسته‌های پرتوزای ¹³⁷Cs و یا ⁶Co هستند [۶]. طرح هندسه‌ی شبیه‌سازی آن در شکل ۲ نمایش داده شده است. به منظور اطمینان از صحت یعناب مربوط به شبیه‌سازی مونته‌کارلو، برای تراپرد ذرّات بین چشممه تا آشکارساز، از کد MCNPX با همین هندسه استفاده شد. هر انرژی با ⁸F8 برای تعیین تعداد شمارش‌ها در ناحیه‌ی قله‌ی تمام انرژی استفاده شد. این مراحل برای حالت‌های مختلف زاویه‌ی صندلی نسبت به سطح افق و زاویه‌ی دهانه‌ی موازی ساز شبیه‌سازی شد.



شکل ۱. آشکارساز NaI، حفاظ سرپی و لایه‌های داخلی آن.



شکل ۲. مدل سازی آشکارساز، موازی ساز سرپی و فانتوم بومب با کد MCNPX که چشم‌های توزیع یکنواخت در کل بدن است.

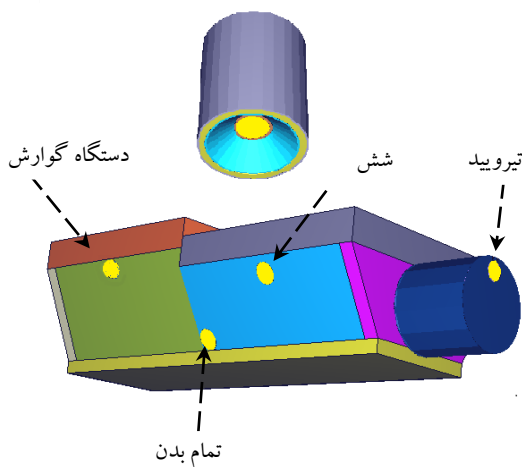
به منظور ارزیابی دقیق دز داخلی کارکنان پرتوکار و عموم افراد جامعه، لازم است که از میزان ورود مواد پرتوزا به داخل بدن تخمینی داشته باشیم. عموماً از شمارنده‌های کل بدن برای آشکارسازی پرتوهای گاما با انرژی بالاتر از ۲۰۰ KeV که از بدن گسیل می‌شوند، استفاده می‌شود [۱]. این ابزار نمی‌تواند به طور مستقیم آلدگی داخلی^(۱) را اندازه‌گیری کند، بنابراین کاربر باید بتواند ارتباط بین مقدار اندازه‌گیری شده و مقدار ماده‌ی پرتوزای وارد شده به بدن را تعیین کند. در این حالت، از فانتوم بومب^(۲) و نیم‌تنه به طور گسترده برای کالیبراسیون انرژی و بازدهی آشکارسازی، با قرار دادن چشممه‌ی ترکیبی استاندارد در حفره‌هایی که نشان‌دهنده‌ی تیروئید، شش‌ها، دستگاه گوارش و کل بدن است، استفاده می‌شود [۱-۳].

در این پژوهش، یک سامانه‌ی شمارنده‌ی با هندسه‌ی صندلی که با آشکارساز سوسوزن نوع یدورسیدیم تجهیز شده است، طراحی، و مؤلفه‌های مؤثر برای دست‌یابی به یک سامانه‌ی قابل حمل با بازدهی قابل قبول بررسی شد. پس بازدهی یک سامانه‌ی شمارنده با هندسه‌ی صندلی که شامل فانتوم بومب با چشممه‌ای دارای توزیع یکنواخت حجمی است، ارزیابی شد. پس از دست‌یابی به مؤلفه‌های مطلوب آشکارسازی، یک سامانه‌ی جدید طراحی، و یک نمونه‌ی آزمایشگاهی ساخته شد. در نهایت برای کالیبراسیون تجربی این سامانه، از فانتوم نیم‌تنه که کاربری آن ساده‌تر از بومب و حاوی چشممه‌های نقطه‌ای است، استفاده شد.

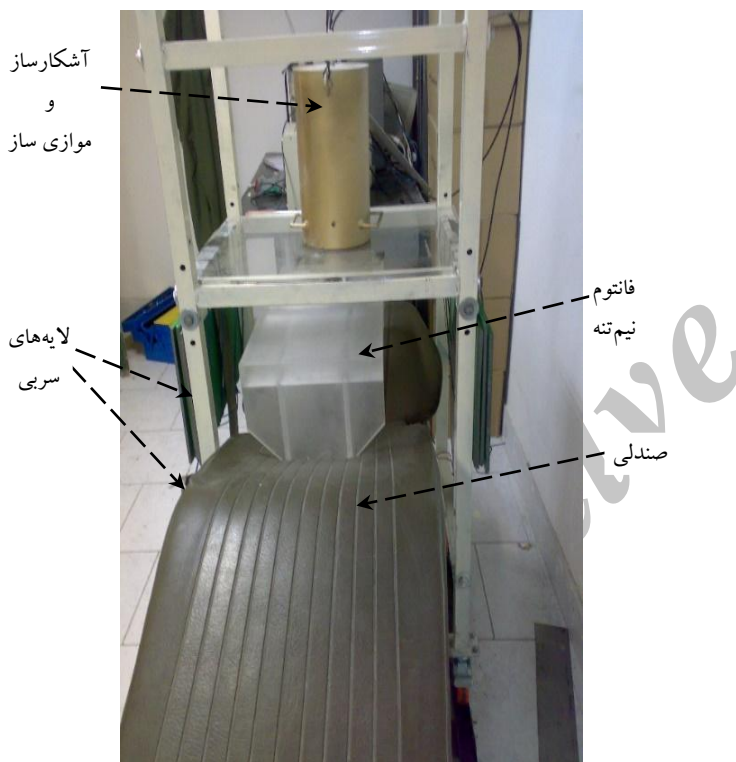
۲. روش کار

بازدهی آشکارساز به چگالی و اندازه‌ی ماده‌ی آشکارساز، نوع و انرژی تابش و سامانه یا الکترونیک متصل به آشکارساز وابسته است. با افزایش احتمال برهم‌کنش بین تابش فرودی و ماده‌ی آشکارساز، بازدهی آشکارساز افزایش می‌یابد که این احتمال متناسب با سطح مقطع برهم‌کنش‌ها با آشکارساز، چگالی ماده و ابعاد آشکارساز است [۵-۳].

در این پژوهش، حفاظ طراحی شده استوانه‌ای شکل بوده و دهانه‌ی ورودی پرتو به آشکارساز، مخروطی شکل است. مواد حفاظ به ترتیب از یرون آهن، سرب، مس و کادمیم با ضخامت‌های ۳، ۵، ۲ و ۱ mm هستند. در شکل ۱، حفاظ سرپی و لایه‌های داخلی آن نشان داده شده‌اند.



شکل ۳. هندسه‌ی شبیه‌سازی شده به وسیله‌ی کد MCNPX که شامل آشکارساز $\text{NaI}(\text{TI})$, موازی‌ساز سربی و فانتوم نیم‌تنه است.



شکل ۴. نمایی از سامانه‌ی شمارنده‌ی تمام بدن ساخته شده.

به منظور بررسی آثار حفاظ اطراف و پایین صندلی با هدف رسیدن به MDA بهتر، از حفاظ سربی به ضخامت 1cm استفاده، و سپس بیناب زمینه برای مدت زمان 3600s جمع‌آوری شد. سپس با استفاده از نتایج مربوط به محاسبه‌ی بازدهی سامانه و زمان شمارش 500s ، مقادیر MDA برای حالت مورد نظر از رابطه‌ی (۱) محاسبه شد.

سپس با در نظر گرفتن مؤلفه‌های طراحی پیش‌گفته، از فانتوم نیم‌تنه^(۵) که شامل قطعاتی از پلاکسی‌گلاس معادل بافت نرم است نیز استفاده شد. نمونه‌ی آزمایشگاهی شمارنده‌ی کل بدن با هندسه‌ی صندلی شامل آشکارساز یدورسیدیم $(5,08\text{ cm} \times 5,08\text{ cm} \times 2\text{in} \times 2\text{in})$, موازی‌ساز سربی و فانتوم نیم‌تنه است. برای انجام آزمایش‌ها، این آدمک بر روی صندلی قرار گرفت و چشم‌های همسان‌گرد در موقعیت‌های مختلف آن جای گذاری، و سپس بیناب‌های مربوط اندازه‌گیری شدند. شکل ۳، فانتوم نیم‌تنه بزرگ‌سال، آشکارساز و موازی‌ساز که با کد MCNPX شبیه‌سازی شده است را نشان می‌دهد. دلیل استفاده از آشکارساز یدورسیدیم با این ابعاد، دست‌یابی به یک سامانه‌ی قابل حمل با بازدهی قابل قبول است، زیرا استفاده از آشکارسازی با اندازه‌ی بزرگ‌تر، موازی‌سازی با اندازه‌ی بزرگ‌تر را می‌طلبد، که این موجب سنگینی آن و خروج سامانه از حالت قابل حمل بودن می‌شود.

برای اعتبارسنجی محاسبات شبیه‌سازی، سامانه‌ای طراحی و نمونه‌ی آزمایشگاهی ساخته شد. در شکل ۴، نمایی از سامانه‌ی شمارنده‌ی تمام‌بدن ساخته شده، نشان داده شده است. برای کالیبراسیون تجربی این سامانه، از فانتوم نیم‌تنه که کاربری آن ساده‌تر از فانتوم بومب و حاوی چشم‌های نقطه‌ای است، استفاده شد. چشم‌های نقطه‌ای شامل ^{137}Cs , ^{41}Am و ^{60}Co که به ترتیب دارای فعالیت 183 , 325 و 71kBq در موقعیت «۱» (آشکارساز به ترتیب در راستای قفسه‌ی سینه) و موقعیت «۲» (آشکارساز در موقعیت «تمام بدن») استفاده شد (رجوع شود به شکل ۳).

برای محاسبه‌ی کمینه‌ی سطح پرتوزایی قابل اندازه‌گیری (MDA) سامانه، از رابطه‌ی (۱) استفاده می‌شود:

$$MDA = \frac{3 + 4,653\sqrt{Bg}}{f \times T \times \varepsilon} \quad (1)$$

که در آن MDA برای هسته‌ی پرتوزایی خاص (Bq)، Bg شمارش زمینه در ناحیه‌ی مربوط به انرژی هسته‌ی پرتوزایی مورد نظر، f درصد فراوانی برای انرژی مورد نظر در هر واپاشی، T مدت زمان شمارش پرتوزایی نمونه با آشکارساز (برحسب s)، و ε بازدهی آشکارساز برای انرژی مورد نظر است [۷].

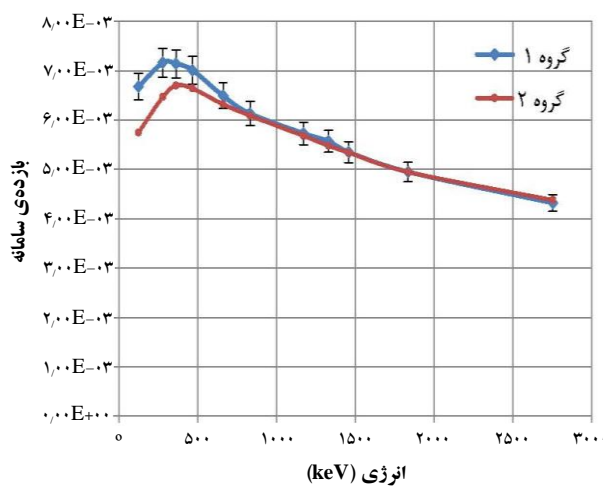


۳. بحث و نتیجه‌گیری

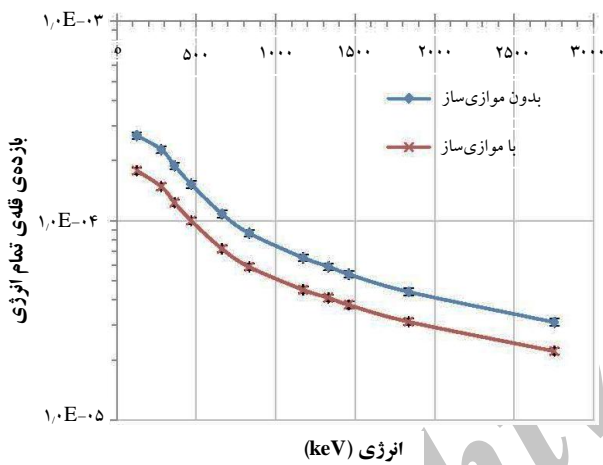
مقایسه‌ی نتایج محاسبات بازده در این پژوهش با فانتم بومب و شبیه‌سازی آشکارساز با قطر $2\text{cm} \times 2\text{cm}$ و ضخامت $10,2\text{cm}$ که گروه ۱ نامیده شده است و نتایج گروه ۲ [۸] در شکل ۵، تطابق خوبی را نشان می‌دهند. پیشینه اختلاف بازده در شکل ۳ برای انرژی‌های پایین تر از 7keV ، برابر 16% در انرژی 126keV است که علت آن تغییرات چگالی برای انواع مختلف فولاد مورد استفاده در پنجرهی آشکارساز است. هندسه‌ی آشکارسازی در این شبیه‌سازی به نحوی است که فانتم بومب بر روی صندلی با زاویه‌ی 45° نسبت به سطح افق و در فاصله‌ی 71cm قرار دارد (شکل ۲).

نتایج محاسبات شبیه‌سازی برای آشکارساز یدورسیدیم بدون موازی‌ساز سربی برای فاصله‌ی 71cm و فانتم بومب، در شکل ۶ نشان داده شده است. هندسه‌ی آشکارسازی در این شبیه‌سازی به نحوی است که فانتم بومب بر روی صندلی با زاویه‌ی 45° نسبت به سطح افق قرار دارد. مقدار بازدهی سامانه در حالت با موازی‌ساز، با افزایش انرژی، سیر نزولی دارد و مقادیر آن در مرتبه‌ی 10^{-4} تا 10^{-5} است که با مقادیر شمارنده‌های کل بدن تجاری هم خوانی دارد [۹]. نتایج حاصل در نمودارهای شکل ۶ حاکی از آن است که در اثر حضور موازی‌ساز، تضعیف بازدهی سامانه به مقدار میانگین 30% به وجود می‌آید.

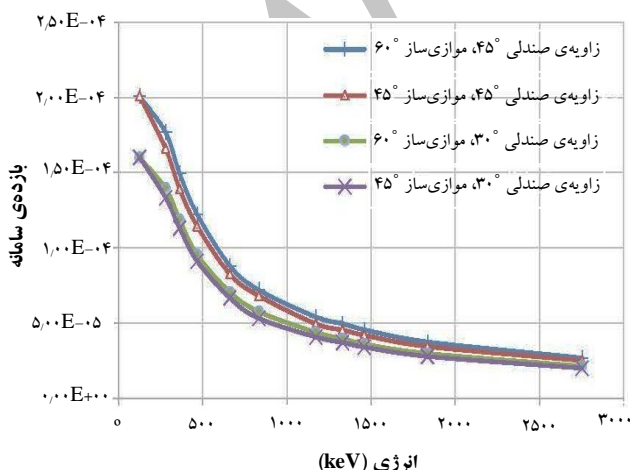
مدل‌سازی برای زاویه‌ی دهانه‌ی موازی‌ساز با دو مقدار 45° و 60° مطابق با شکل ۲ انجام شد. در شکل ۷، اثر هندسه‌ی موازی‌ساز (زاویه‌ی دهانه‌ی موازی‌ساز) در بازدهی قله‌ی تمام انرژی برای فانتم بومب در دو حالت بررسی شد. این نتیجه حاکی از آن است که تغییرات در زاویه‌ی دهانه‌ی موازی‌ساز اثر چندانی بر بازده نخواهد داشت. از طرفی معلوم شد که تغییرات در زاویه‌ی قرارگیری صندلی نسبت به سطح افق تأثیر چشم‌گیری در بازده خواهد داشت. بنابراین زاویه‌ی 45° برای دهانه‌ی موازی‌ساز با توجه به ملاحظات طراحی و ساخت، اینمی استفاده از موازی‌ساز و کاهش تابش زمینه، مناسب تر است.



شکل ۵. محاسبات بازدهی شبیه‌سازی شده برای دو آشکارساز مربوط به گروه ۱ و گروه ۲ (به متن مراجعه شود).



شکل ۶. اثر موازی‌ساز سربی در آشکارساز $5,08\text{cm} \times 5,08\text{cm}$ ($2\text{in} \times 2\text{in}$) با فاصله‌ی 71cm از فانتم بومب.



شکل ۷. اثر تغییرات زاویه‌ی دهانه‌ی موازی‌ساز و زاویه‌ی صندلی نسبت به سطح افق در فانتم بومب.



با استفاده از مؤلفه‌های مطلوب آشکارسازی که شامل فاصله‌ی آشکارساز تا صندلی (71cm)، زاویه‌ی دهانه‌ی موازی ساز (45°) و زاویه‌ی صندلی نسبت به سطح افق (45°) است. این سامانه طراحی، و یک نمونه‌ی آزمایشگاهی ساخته شد (شکل ۴). مقدار MDA، وقتی که آشکارساز در راستای قفسه‌ی سینه و در موقعیت «۱» قرار می‌گیرد و چشم‌می نقطه‌ای ^{137}Cs در موقعیت تمام بدن قرار دارد، برابر $448 \pm 47\text{Bq}$ به دست آمد. مقدار MDA در انرژی مربوط به ^{137}Cs برای دو سامانه‌ی شمارنده‌ی کل بدن با آشکارساز یدور سدیم بزرگ‌تر که دارای نام‌های تجاری AT1316 [۱۰] و ACCUSCAN [۱۱] هستند، به ترتیب برابر با 300 Bq و 204 Bq گزارش شده‌اند. یک گروه راپنی برای شمارنده‌ی کل بدن مجهر به آشکارساز یدور سدیم بزرگ‌تر با ابعاد به قطر 20 cm و ارتفاع 10 cm ، مقدار MDA برابر 176 Bq را گزارش کردند [۱۲]. مقدار MDA به دست آمده در این پژوهش با مقادیر گزارش شده از این مراجع، با وجود اختلاف در ابعاد آشکارساز، قابل قیاس است. هم‌چنین یک گروه برزیلی در سال ۲۰۱۱، برای شمارنده‌ی تیروئید مجهر به آشکارساز یدور سدیم $5,08\text{cm} \times 5,08\text{cm}$ ، مقدار 185 Bq را گزارش دادند که در مرتبه‌ی یکسان از MDA گزارش شده در این پژوهش است و اختلاف موجود مربوط به نوع حفاظت صندلی در سامانه‌ها تشخیص داده می‌شود [۷].

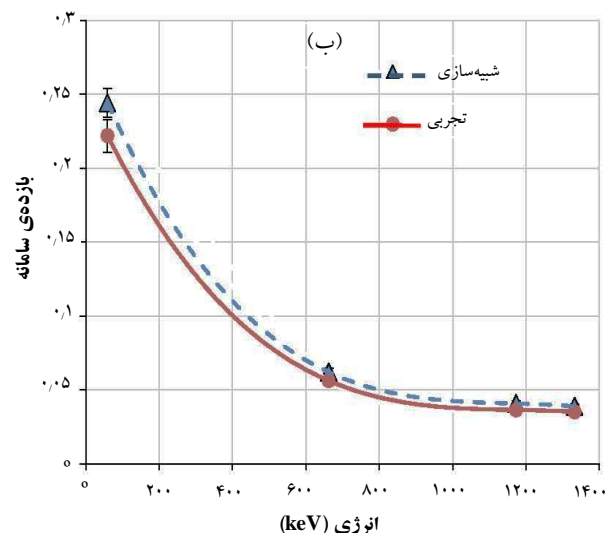
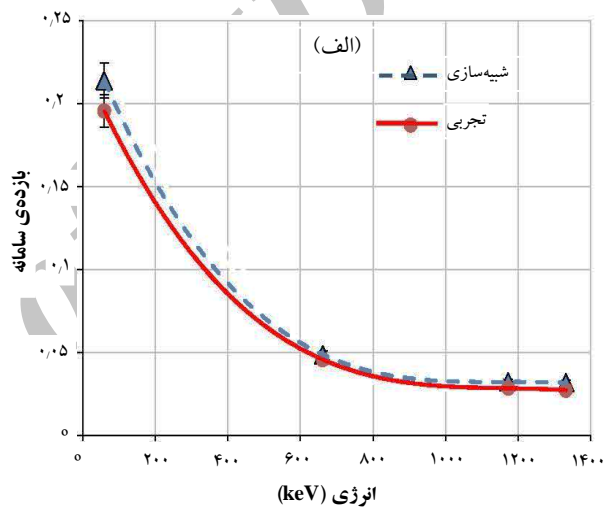
در این پژوهش، نشان داده شده است که کالیبراسیون یک سامانه با شبیه‌سازی مونته‌کارلو و ارزیابی بازدهی شمارش آن با روش کم‌هزینه‌تر در مقایسه با سایر روش‌های تجربی پرهزینه، قابل دست‌یابی است. سامانه‌ی ساخته شده دارای اجزای اصلی است که دارای وزن حدود 480 kg خواهد بود (جدول ۱)، از نظر جابه‌جایی بسیار مناسب است و نسبت به سایر سامانه‌ها با هندسه‌ی صندلی وزن کم‌تری دارد [۱۳]. این سامانه علاوه بر این که در هنگام بروز حادثه برای دسته‌بندی سطوح آلودگی داخلی پرسنل و افراد جامعه به سرعت قابل جابه‌جا و قابل استفاده است، در عین حال، مقدار MDA آن قابل مقایسه با سیستم‌های تجاری است [۱۰] و نتایج حاصل از اندازه‌گیری برای تخمین سریع آلودگی داخلی افراد قابل استفاده است.

جدول ۱. وزن اجزای اصلی سامانه

۶۵ kg	حفظ آشکارساز
۲۵۰ kg	حفظ صندلی
۱۵ kg	آشکارساز و الکترونیک
۱۵۰ kg	پایه و چارچوب بدن
۴۸۰ kg	وزن سامانه

در خصوص زاویه‌ی صندلی نسبت به سطح افق، نتایج بیان کننده‌ی آن است که برای موازی‌ساز طراحی شده، زاویه‌ی 45° مطلوب است. با کاهش زاویه‌ی صندلی، به علت دور شدن بعضی از اعضای بدن از آشکارساز، مقدار فوتون‌های ثبت شده از کل بدن در آشکارساز کاهش، و در نتیجه مقدار تالی‌های ثبت شده کاهش می‌یابد.

نتایج شبیه‌سازی و تجربی بازدهی سامانه با استفاده از فانتوم نیم‌تنه، با یک‌دیگر مقایسه شد که در شکل ۸ برای دو حالت، نمایش داده شده است. اختلاف بین نتایج تجربی و شبیه‌سازی برابر 5% است که از این مقدار برای فاکتور تصویح تجربی در استخراج منحنی کالیبراسیون سامانه استفاده خواهد شد.



شکل ۸. نمودار بازده بر حسب انرژی برای دو حالت: (الف) آشکارساز در موقعیت «۱» و چشم‌می نقطه‌ای در موقعیت «تمام بدن» (ب) آشکارساز در موقعیت «۲» و چشم‌می نقطه‌ای در موقعیت «قفسه سینه».



پی‌نوشت‌ها

1. In Vivo
2. Phantom
3. Bottle MAnnikin ABsorber (BOMAB)

4. Plexiglass
5. Torso Phantom

مراجع

- [1] J.I. Kim, B. Lee, H. Choi, Y.K. Lim, Efficiency calibration of bed type whole body counter using Monte Carlo simulations and application to intake estimation ^{131}I , *J. Nucl. Sci. Tech.* **1** (2011) 549-551.
- [2] American National Standard, Specifications for the bottle manikin absorption phantom, ANSI/HPS N13.35 (1999).
- [3] G.F. Knoll, Radiation Detection and Measurement, John Wiley & Sons, New York, 4th edition, (2010) 349-355.
- [4] T. Ishikawa, M. Matsumoto, M. Uchiyama, A calibration method for whole-body counters using Monte Carlo simulation, *Radiat. Prot. Dosimetry*, **64** (1996) 283-288.
- [5] HU-Xia Shi, Bo-Xian Chen, Ti-Zhu Li, Di Yun, Precise Monte Carlo simulation of gamma-ray response functions for an NaI(Tl) detector, *Appl. Radiat. Isot.* **57** (2002) 517-524.
- [6] B. Breustedt, W. Eschner, Monte Carlo calibration of whole-body counters with NaI(Tl) detectors in stretcher geometry, *Radiat. Prot. Dosim.* **139** (2010) 510-518.
- [7] L.R. Santos, M. Xavier, A. A. Y. Kakoi, I. A. Jr. Silva, J. C. S. Cardoso, Evalution of the Minimum Detectable Activity of Whole Body and Thyroid Counters at in Vivo Monitoring Laboratory of IPEN/CNEN-SP, *Scientia Plena* **8** (2012) 119907.
- [8] G.H. Kramer, K. Capello, K. Ross, The W-chair whole body counter: a Monte Carlo investigation, *Health Phys.* **88** (2005) 364-370.
- [9] P. Bento, S. Barros, L. Teles, M. Neves, Monte Carlo simultion of the movement and detectable efficiency of a whole body counting system using a BOMAB phantom, *Radiat. Prot. Dosim.* **148** (2012) 403-413.
- [10] AT1316 Whole Body Counter, <http://www.atomtex.com>.
- [11] Model 2260 Accuscan Horizontal Bed Whole Body Counter, <http://www.canberra.com>.
- [12] S. Mitzushit, New chair type whole-body counter, *J. Nucl. Sci. Tech.* **26** (1989) 278-285.
- [13] M.J. Youngman, Transportable in vivo monitoring system for accident monitoring of internal contamination, National Radiological Protection Board (UK), NRPB-W12, (2002).